



QCD与中高能核物理暑期学校

2023年07月12日

Inverse Problem of Dispersion Relation

Ao-Sheng Xiong

Lanzhou University

Supervisor: Fu-Sheng Yu

Based on [ASX, Ting Wei(魏婷), Fu-Sheng Yu(于福升)]

arxiv: 2211.13753



目录

- 研究动机
- 反问题介绍
- 适定性研究
- 正则化方法
- 数值结果
- 总结与展望

白強不息
獨樹一幟



重大科学难题：非微扰问题

强相互作用是四种基本相互作用之一，其基本理论是量子色动力学(QCD)。

QCD具有高能微扰和低能非微扰的性质。

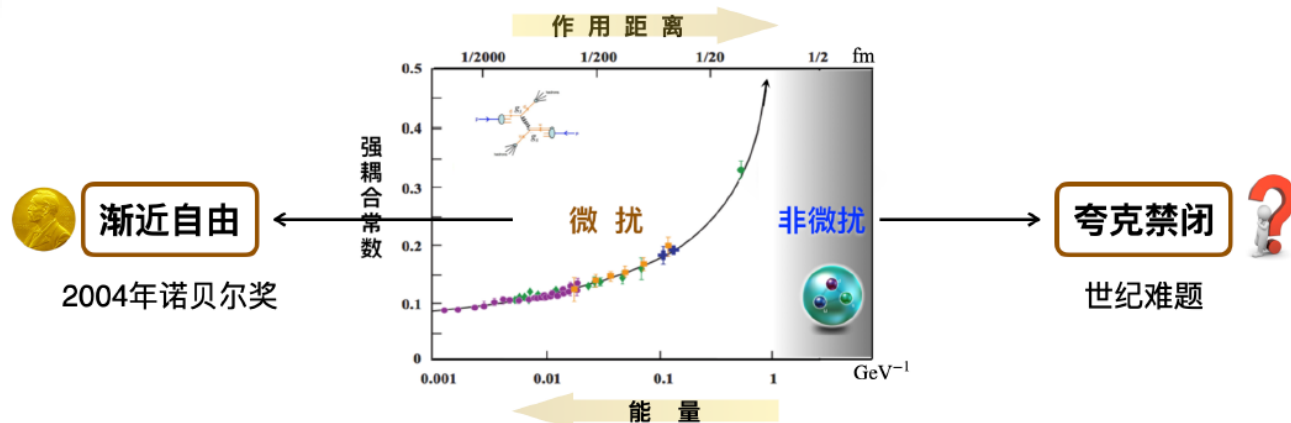


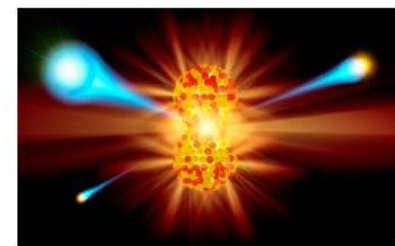
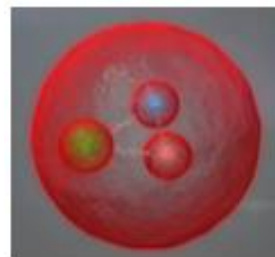
图1：高能微扰与低能非微扰

非微扰物理量难以计算，是世纪难题

粒子物理：标准模型内最后的难题。夸克禁闭和新物理？

核物理：核科学都能溯源到核力，核力本质是强相互作用，

强作用的非微扰问题是制约核科学的根本问题之一。



现有的非微扰方法各有优缺点

格点QCD (LQCD)：第一性原理的计算方法，但需要超级计算机且对激发态等物理量计算难度大。

其他方法：如QCD求和规则、Dyson-Schwinger方程等都有模型依赖性。唯象方法预言能力有限。



基于量子场论的色散关系，通过已知的微扰计算反解未知的非微扰物理量：

Dispersion Relation:

$$\mathcal{R}e[\Pi(s)] = \frac{1}{\pi} \mathcal{P} \int_0^\infty \frac{\mathcal{I}m[\Pi(s')]}{s - s'} ds'$$

If $s > \Lambda$,

$$\mathcal{P} \int_0^\Lambda \frac{\mathcal{I}m[\Pi(s')]}{s - s'} ds' = \pi \mathcal{R}e[\Pi(s)] - \mathcal{P} \int_\Lambda^\infty \frac{\mathcal{I}m[\Pi(s')]}{s - s'} ds'$$

↑ To be solved ↑ calculable

$$Kf = \int_a^b \frac{f(x)}{y - x} dx = g(y), y \in [c, d], c > b$$

H.N.Li, H.U, F.R.Xu, **F.S.Yu**,
Phys.Lett.B 810(2020)

已知积分结果求被积函数需要用到反问题理论。



反问题理论是成熟的数学分支领域：

与反问题对比的是正问题；

1950年左右发展至今；

在众多重要的前沿科学领域中广泛运用；

线性方程组的求解、地质探勘、缪子成像、CT……

$$\text{If } s > \Lambda, \quad \mathcal{P} \int_0^\Lambda \frac{\text{Im}[\Pi(s')]}{s-s'} ds' = \pi \text{Re}[\Pi(s)] - \mathcal{P} \int_\Lambda^\infty \frac{\text{Im}[\Pi(s')]}{s-s'} ds'$$

To be solved
calculable

$$\int_a^b \frac{f(x)}{y-x} dx = g(y), y \in [c, d], c > b$$

微扰论



反问题理论



色散关系
反问题方法



非微扰
物理量



适定性是研究反问题的基础:

解的存在性; 解的唯一性; 解的稳定性;

$$\int_a^b \frac{f(x)}{y-x} dx = g(y), y \in [c, d], c > b$$

反问题的简单例子:

线性方程组的一般形式为: $A_{n \times n} x_{n \times 1} = b_{n \times 1}$ 。

上述方程组的解存在当且仅当 $r_A = r_{(A,b)}$; 当解存在时, 解唯一当且仅当 $r_A = n$;

$$\begin{cases} 2x_1 + 3x_2 = 8 \\ 2x_1 + 3.00001x_2 = 8.00002 \end{cases}$$

解为 $x_1 = 1, x_2 = 2$;

当对方程组的右端加上微小的误差时

$$\begin{cases} 2x_1 + 3x_2 = 8 \\ 2x_1 + 3.00001x_2 = 8.00003 \end{cases}$$

解却变成 $x_1 = -0.5, x_2 = 3$ 。解却发生了巨大的变化, 上述线性方程组不满足解的稳定性。

3 适定性研究



解的存在性:



$R(K)$ is the analytic functions

$$\int_a^b \frac{f(x)}{y-x} dx = g(y), y \in [c, d], c > b$$


$$\begin{aligned} Kf &= \int_a^b \frac{f(x)}{y-x} dx = \int_a^b \frac{1}{y} \frac{f(x)}{1-\frac{x}{y}} dx \\ &= \frac{1}{y} \int_a^b \sum_{k=0}^{\infty} \left(\frac{x}{y}\right)^k f(x) dx = \sum_{k=0}^{\infty} \frac{1}{y^{k+1}} \int_a^b x^k f(x) dx \end{aligned}$$

where the last equal sign uses the control convergence theorem:

$$\begin{aligned} \sum_{k=0}^{\infty} \frac{1}{y^{k+1}} \int_a^b x^k f(x) dx &\leq \sum_{k=0}^{\infty} \frac{1}{y^{k+1}} \int_a^b x^{2k} dx \|f(x)\|_{L^2(a,b)} \\ &\leq \sum_{k=0}^{\infty} \frac{1}{y^{k+1}} b^k \sqrt{b-a} \|f(x)\|_{L^2(a,b)} \\ &\leq \sum_{k=0}^{\infty} \frac{1}{y^{k+1}} \left(\frac{b}{c}\right)^k \|f(x)\|_{L^2(a,b)} \leq \infty \end{aligned}$$

Thus, the $R(K)$ is the analytic functions $\in [c, d]$



解的存在性: 

解的唯一性: 

$$\int_a^b \frac{f(x)}{y-x} dx = g(y), y \in [c, d], c > b$$

Theorem 3.3. Suppose that $f_1(x), f_2(x) \in L^2(a, b)$. If $Kf_1 = Kf_2 = g(y), y \in [c, d]$, then we have $f_1(x) = f_2(x)$, a. e. $x \in [a, b]$.

Proof. Since K is a linear operator, we know that $Kf_1 - Kf_2 = K(f_1 - f_2) = 0$. Therefore, in order to prove $f_1(x) = f_2(x)$, a. e. $x \in [a, b]$, we just need to prove that $Kf = 0$ implies $f(x) = 0$, a. e. $x \in [a, b]$.

It is easy to obtain that $Kf = \int_a^b \frac{1}{y-x} f(x) dx = \int_a^b \left(\frac{1}{y} \sum_{k=0}^{\infty} \left(\frac{x}{y}\right)^k \right) f(x) dx$. Since $x \in [a, b], y \in [c, d], c > b$, we know $|\frac{x}{y}| \leq |\frac{b}{c}| < 1$, which implies that $|\sum_{k=0}^{\infty} (\frac{x}{y})^k f(x)| \leq \sum_{k=0}^{\infty} (\frac{b}{c})^k |f(x)|$ for all $x \in [a, b]$. Combined with $\int_a^b |f(x)| dx < +\infty$ and the control convergence theorem, we have

$$y \int_a^b \frac{1}{y-x} f(x) dx = \sum_{k=0}^{\infty} \frac{1}{y^k} \int_a^b x^k f(x) dx = 0, \quad y \in [c, d]. \quad (3.4)$$

If $d = +\infty$, by using (3.4), we have

$$\int_a^b f(x) dx + \frac{1}{y} \int_a^b x f(x) dx + \dots + \frac{1}{y^k} \int_a^b x^k f(x) dx + \dots = 0, \quad y \in (c, +\infty). \quad (3.5)$$

Letting $y \rightarrow +\infty$ in (3.5), we have $\int_a^b f(x) dx = 0$. Then multiplying y on both sides of (3.5) and letting $y \rightarrow +\infty$, we also have $\int_a^b x f(x) dx = 0$. Repeating above process, we can obtain that

$$\int_a^b x^k f(x) dx = 0, \quad k = 0, 1, 2, \dots \quad (3.6)$$

By using (3.6), we know that $\int_a^b f(x) Q_n(x) dx = 0$. Combined with the Cauchy inequality, we have

$$\begin{aligned} \|f\|_{L^2(a,b)}^2 &= \int_a^b f^2(x) dx = \int_a^b (f^2(x) - f(x) Q_n(x)) dx \\ &\leq \int_a^b |f(x)| \cdot |f(x) - Q_n(x)| dx \\ &\leq \left(\int_a^b f^2(x) dx \right)^{\frac{1}{2}} \left(\int_a^b |f(x) - Q_n(x)|^2 dx \right)^{\frac{1}{2}} \\ &= \|f\|_{L^2(a,b)} \|f - Q_n\|_{L^2(a,b)} \\ &\leq (\epsilon + \epsilon \sqrt{b-a}) \|f\|_{L^2(a,b)}, \end{aligned}$$

which implies that $\|f\|_{L^2(a,b)} \leq \epsilon + \epsilon \sqrt{b-a}$.

Letting $\epsilon \rightarrow 0$, we have $\|f\|_{L^2(a,b)} = 0$, i. e. $f(x) = 0$, a. e. $x \in [a, b]$. The proof is completed. \square

3 适定性研究



解的存在性: 😊

解的唯一性: 😊

解的稳定性: 😞

We show the instability of the inverse problem of dispersion relation by the special case. Taking $a = 0, b = 1, c = 2, d = 3, f_2(x) = f_1(x) + \sqrt{n} \cos(n\pi x)$, and $f_{1,2}$ are the solutions of $g_{1,2}$ with $g_i(y) = \int_0^1 \frac{1}{y-x} f_i(x) dx$. As $n \rightarrow \infty$, it is obvious that

$$\|f_2 - f_1\|_{L^2(0,1)} = \left(\int_0^1 (\sqrt{n} \cos(n\pi x))^2 dx \right)^{1/2} = \frac{\sqrt{n}}{\sqrt{2}} \rightarrow \infty, \quad (3.7)$$

and

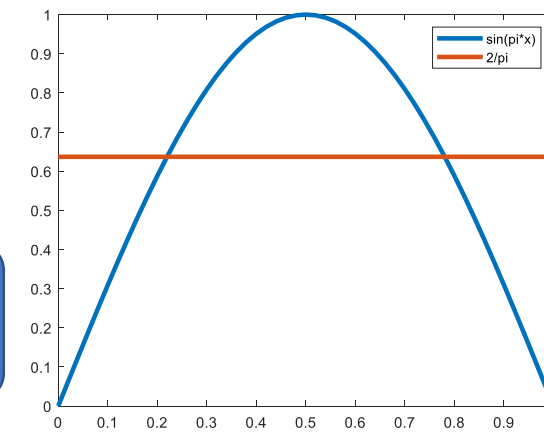
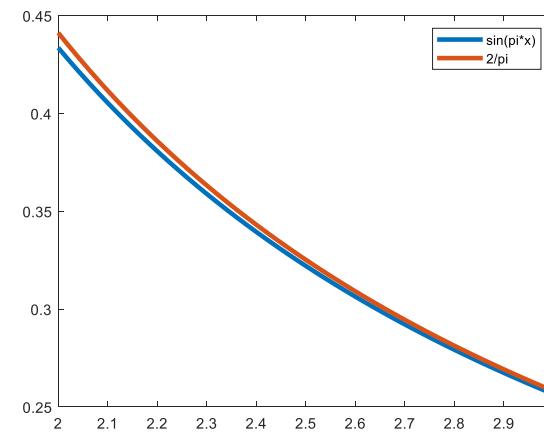
$$\|g_2 - g_1\|_{L^2(2,3)} = \frac{1}{\sqrt{n\pi}} \left(\int_2^3 \left(\int_0^1 \left(\frac{1}{y-x} \right)^2 \sin(n\pi x) dx \right)^2 dy \right)^{1/2} \leq \frac{M}{\sqrt{n\pi}} \rightarrow 0. \quad (3.8)$$

That means the solutions could be changed infinitely even though the noise of the input data is approaching to vanish. So the inverse problem is unstable.

实际物理中，数据一定存在误差： $\|g^\delta - g\|_{L^2} \leq \delta$

不稳定性是求解该反问题的难题！

$$\int_a^b \frac{f(x)}{y-x} dx = g(y), y \in [c, d], c > b$$



两个相似的 $g(y)$ 对应的解却有着很大差别

4 正则化方法



正则化方法:

不适定问题



近似的适定问题

Tikhonov正则化方法:

$$f_{\alpha}^{\delta} = \operatorname{argmin} \left\{ \frac{1}{2} \|Kf - g^{\delta}\|_{L^2}^2 + \frac{\alpha}{2} \|f\|_{L^2}^2 \right\}$$



$$\alpha = \operatorname{argmin} \{ \|f_{\alpha}^{\delta}\|_{L^2} \|Kf_{\alpha}^{\delta} - g^{\delta}\|_{L^2} \}$$

第一项可看作 χ^2 拟合, 第二项是罚项;

罚项的形式可根据实际问题做改进;

$\alpha > 0$ 是正则化参数, 对结果有影响, 不能过大或过小。

Andreas Kirsch.2011

基于严格的数学理论和逻辑, 不引入可调参数, 有成为第一性原理的潜力

$$\|f_{\alpha}^{\delta} - f^*\|_{L^2} \rightarrow 0, \text{ as } \delta \rightarrow 0$$



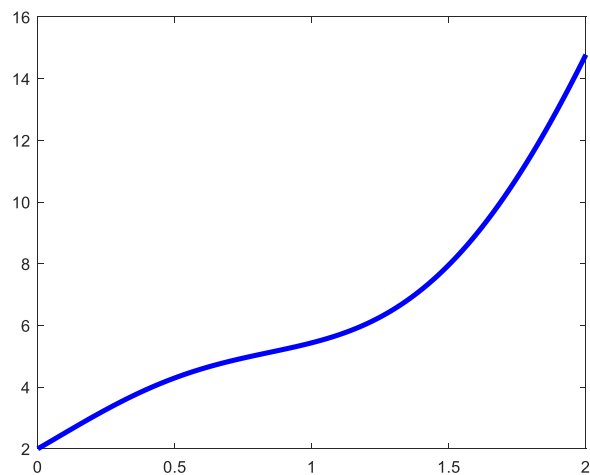
Toy Models:

构造真实解 $f(x) = a_1 f_1(x) + a_2 f_2(x)$ 和对应的输入数据 $g(y)$ ，并对数据加误差得到误差数据 $g^\delta(y)$ ，以此来测试正则化方法的可靠性。

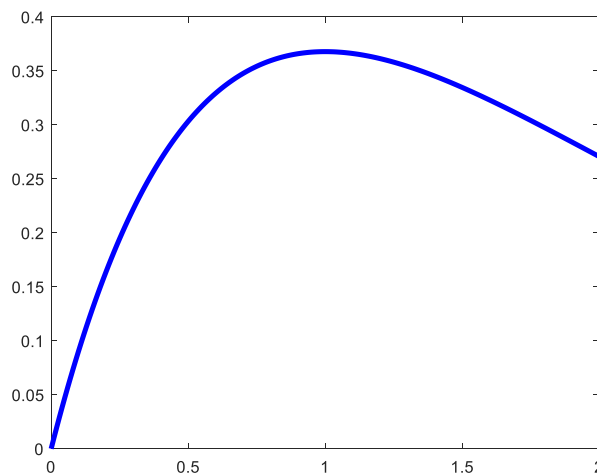
Model 1: a monotonic function as $f_1(x) = \sin(\pi x)$, $f_2(x) = e^x$;

Model 2: a simple non-monotonic function as $f_1(x) = xe^{-x}$, $f_2(x) = 0$;

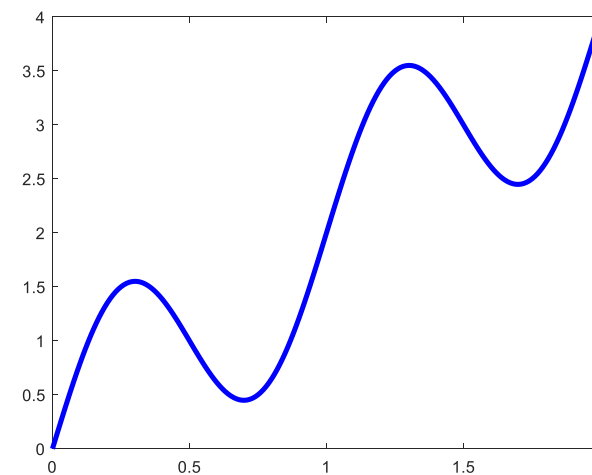
Model 3: an oscillating function as $f_1(x) = \sin(2\pi x)$, $f_2(x) = x$.



model 1



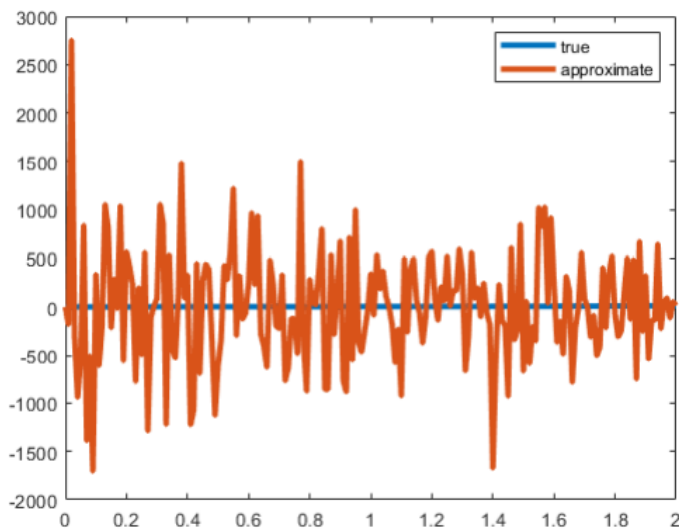
model 2



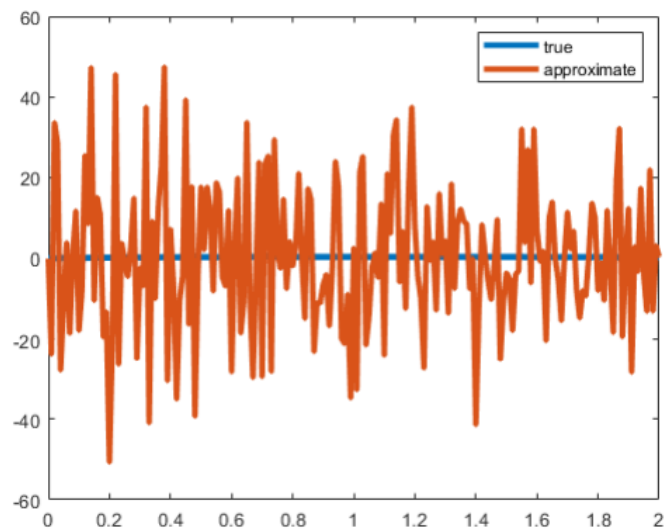
model 3



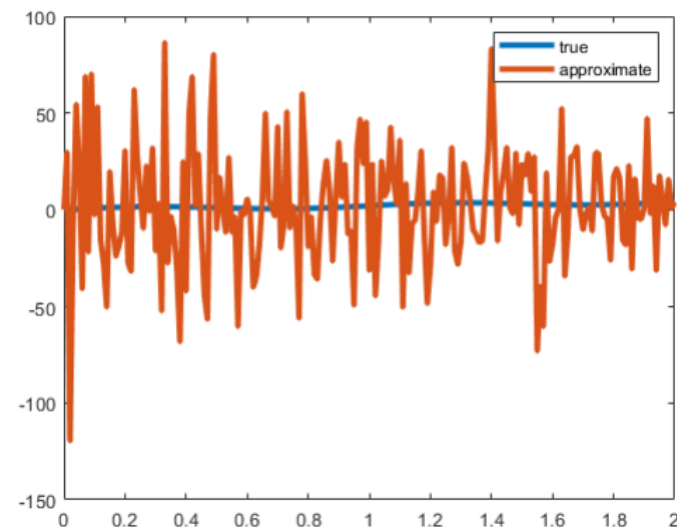
使用经典方法的结果：



model 1



model 2



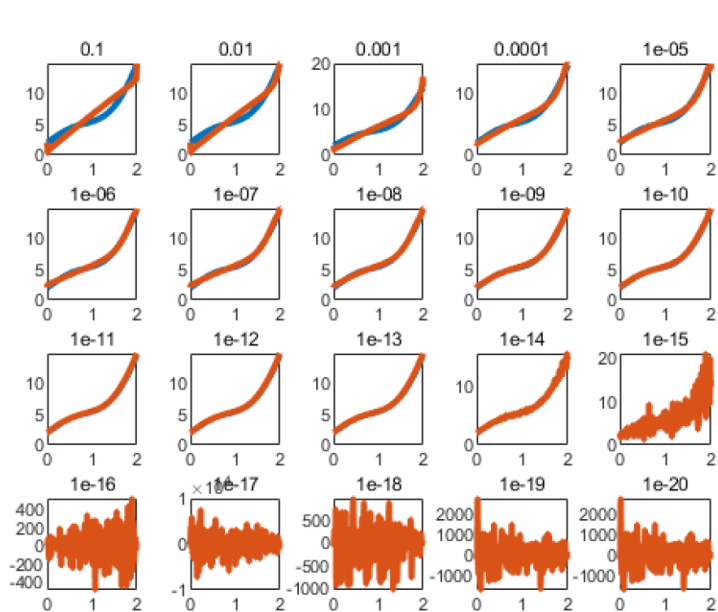
model 3

验证问题的不稳定性；

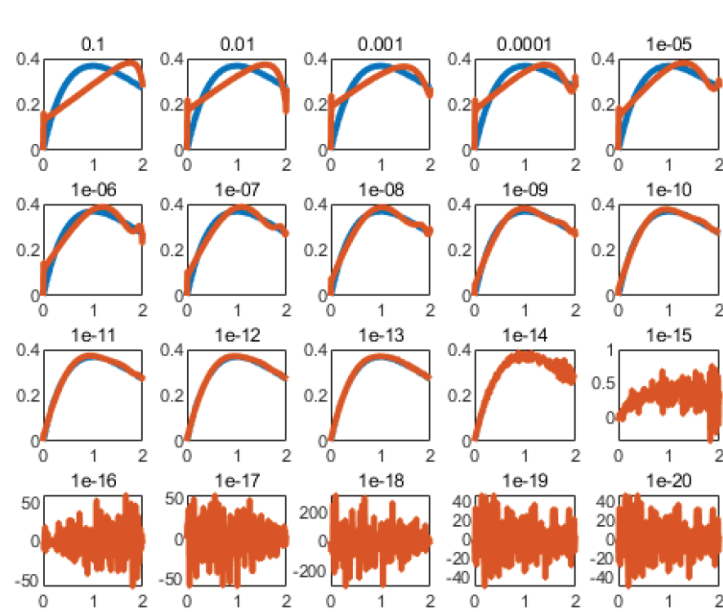
无法使用经典的方法求解，必须要使用正则化方法。



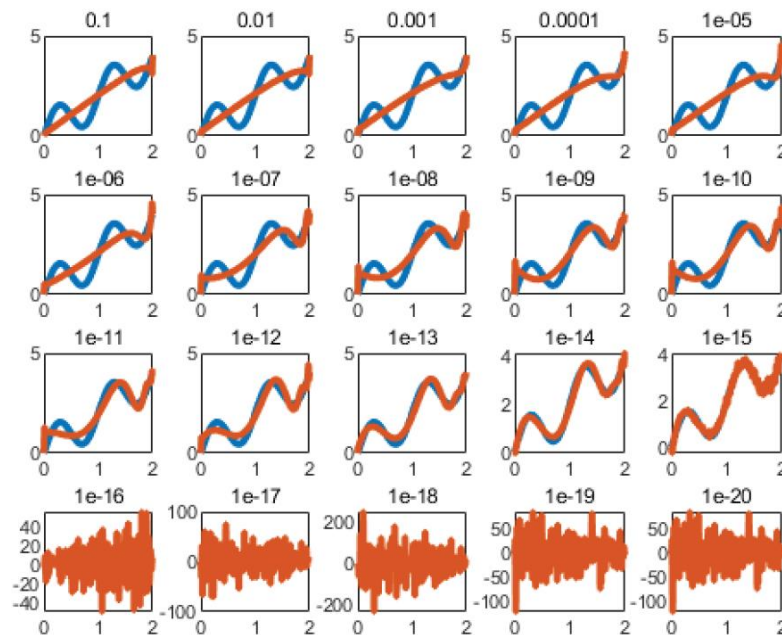
对正则化参数进行遍历：



model 1



model 2



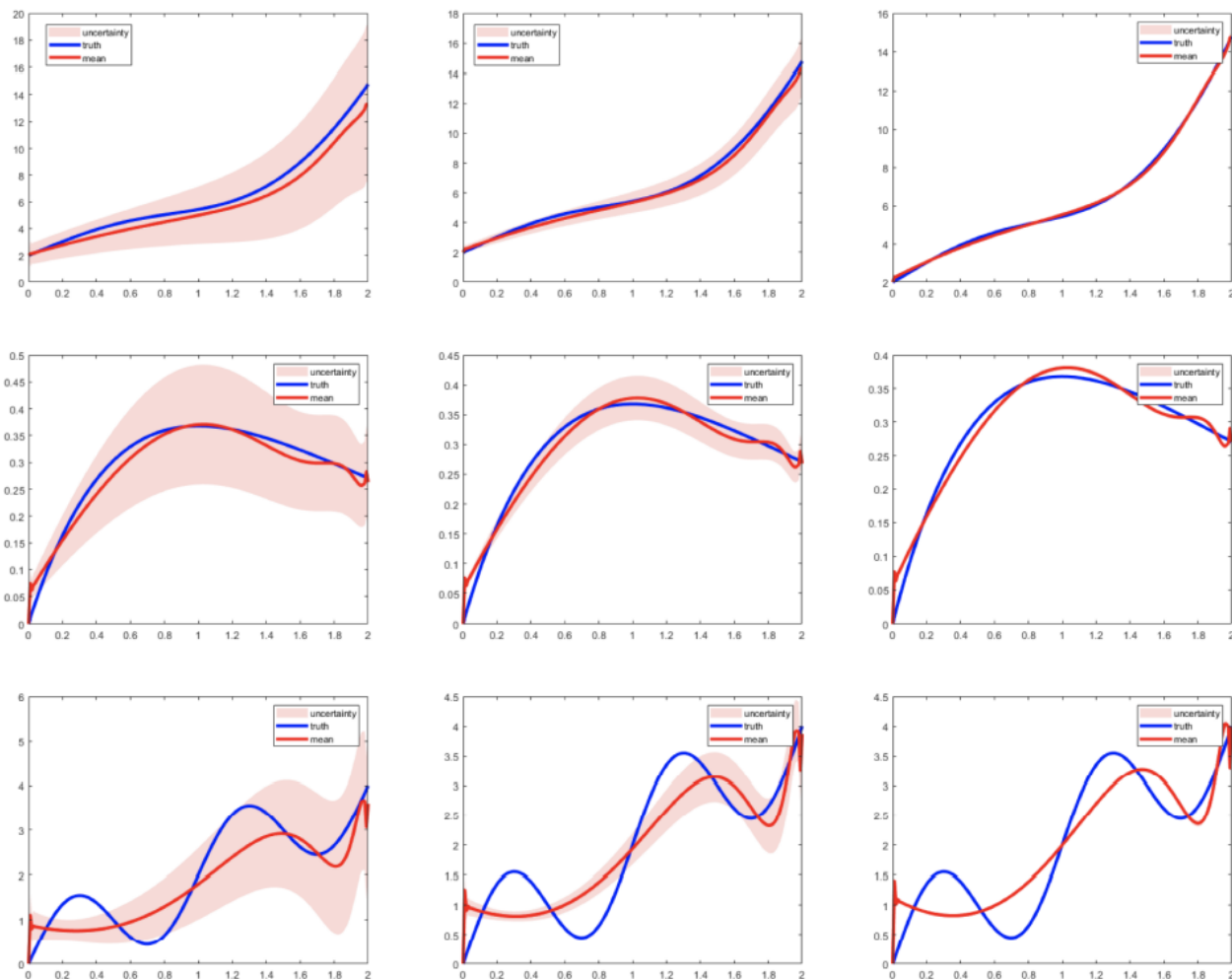
model 3

正则化参数 α 的选取比较重要；

正则化方法可以很好地解决该反问题。



Tikhonov正则化方法和L-curve法的结果:



输入误差分别为30%, 10%和1%;

随着输入误差降低, 解的误差也逐渐降低。
误差水平基本一致

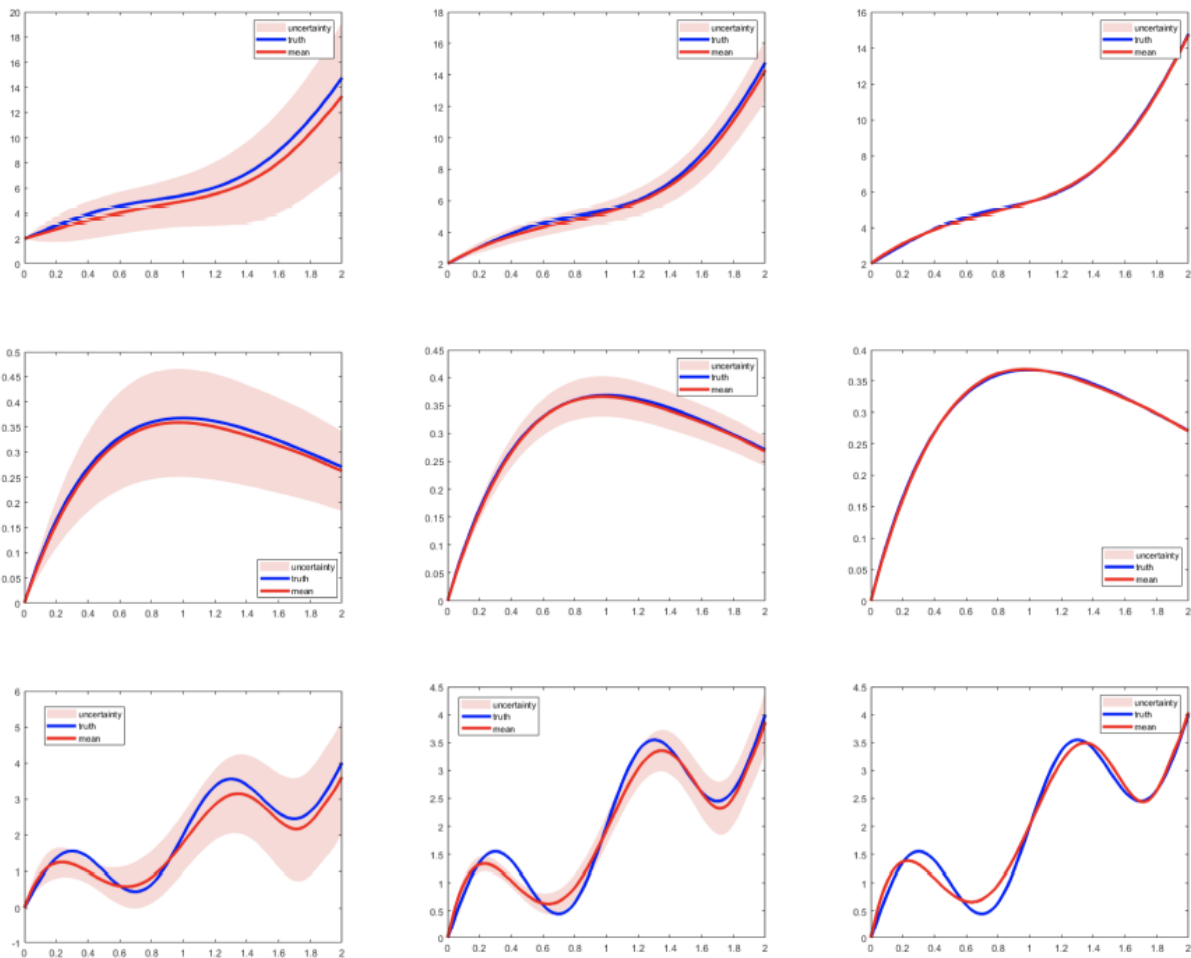
对于Model 1能够很好的反演, 而Model 2和
Model 3的反演效果不是特别好;

积分方程将解磨平

可对正则化方法进行改进, 使得解变得更好。

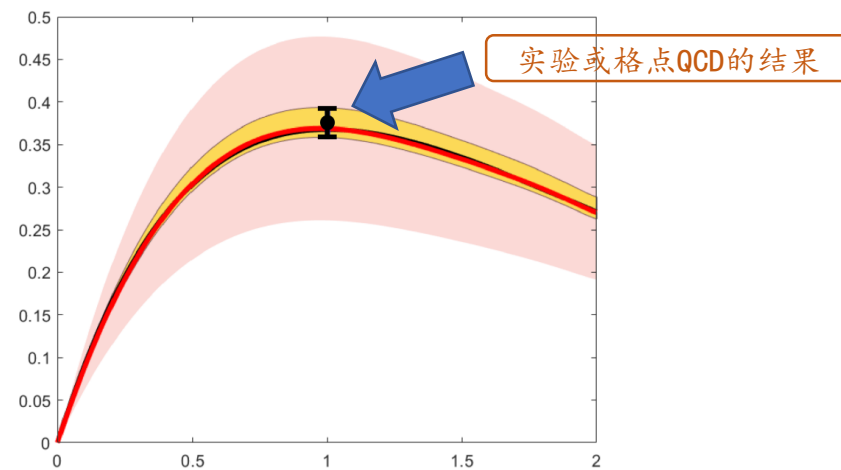


限制解的空间: $\|f\|_{L^2}^2 \rightarrow \|f\|_{H^1}^2$



反问题方法优势:

1. 基于严谨的数学框架;
2. 能够系统性地控制误差;
3. 不需要过大的计算资源;
4. 能够计算全部非微扰能区、激发态等;
5. 针对具体问题改进;
6. 可以与实验或格点QCD结合并互补;





总结:

- 计算非微扰量的新方法;
- 严格证明色散关系反问题的不稳定性;
- 运用正则化方法将不适定问题转化为适定性问题;
- 数值试验验证正则化方法的有效性。

展望:

- 数学框架的进一步搭建;
- 物理问题的深入应用, 解决重大基本问题;
- 寻找反问题方法运用的新方向。



谢谢大家的聆听！

